

کاربرد سنجش از دور در پیجوبی پومیس در پیرامون قله دماوند

سید مسعود مسعودی^۱، فاطمه فریدونی^{۲*} و علی اکبر متکان^۱

^۱دانشکده علوم زمین، دانشگاه شهید بهشتی، تهران، ایران.

^۲دانشکده جغرافیا، دانشگاه تهران، تهران، ایران.

تاریخ پذیرش: ۱۳۸۸/۱۱/۰۴ | تاریخ دریافت: ۱۳۸۷/۱۰/۲۹

چکیده

در این پژوهش برای نخستین بار پومیس‌های پیرامون قله دماوند با استفاده از داده‌های ماهواره‌ای IRS، Aster و مدل رقومی ارتفاع (DEM) مورد بررسی قرار گرفته است. در ابتدا تصحیحات اتمسفری، توپوگرافی و هندسی بر روی داده‌های ماهواره‌ای انجام شد. پس از عملیات پیش پردازش (Preprocessing) (روش‌های تجزیه (Supervised classification) و تحلیل مؤلفه‌های اصلی (PCA)، تبدیل رنگ IHS، ترکیبات رنگی دروغین (FCC)، عامل شاخص بھینه (OIF) و طبقه‌بندی نظارت شده (Supervised classification) به کار گرفته شد. ترکیب باندهای DEM+ در آشکارسازی معادن پومیس توانایی بالای دارد. توانایی تصویر PAN در تشخیص جاده‌ها و سینه‌کارهای معدنی و نیز در ترکیب دقت مکانی با محدوده مرئی و فراسرخ (مادون قرمز) VNIR (VNIR) تزدیک (Aster) بهتر از سنجنده VNIR با توجه به شدت روشانایی پیشر و تغییرات توپوگرافی و پوشش گیاهی، مناسب يكسان نواحی پومیسی و تراکی آنژیتی را آشکارسازی می‌نماید. محدوده طیفی VNIR با توجه به شدت روشانایی پیشر و تغییرات توپوگرافی و پوشش گیاهی، مناسب VNIR نبوده و باعث تداخل کلاس‌ها می‌شوند. در مجموع، برای بیشتر سنجنگ‌ها محدوده طیفی فراسرخ متوسط (SWIR) (ییشترین کارآیی را در مقایسه با محدوده طیفی VNIR دارد. استفاده از DEM برای جداسازی زمین‌های ریزشی هستند، در مناطق شمالی و خاوری و برخی از نواحی جنوبی قله مؤثر بوده است. به علت محدود بودن تعداد پیکسل‌های نمونه‌برداری، الگوریتم مورداستفاده در طبقه‌بندی نظارت شده، روش زاویه طیفی (SAM) است. در نهایت، پراکنش پومیس در چارچوب نقشه پتانسیل پومیس ارائه شد. با محاسبه سطوح همپوشانی لایه سازند زمین‌شناسی مؤثر با محدوده‌های سینه‌کارهای معدنی استخراج شده از تصویر PAN مقدار این همپوشانی ۹۳ درصد به دست آمد.

کلیدواژه‌ها: زاویه طیفی، پومیس، سنجش از دور، سنجنده ASTER، مدل رقومی ارتفاع، سنجنده DEM+.

E-mail: sfereidoni@gmail.com

*نویسنده مسئول: فاطمه فریدونی

۱- محدوده مورد مطالعه

منطقه مورد مطالعه از نظر تقسیمات کشوری در استان مازندران و بر اساس مختصات متریک (UTM) در محدوده ۵۸۸۰۰۰ متر تا ۶۲۰۰۰۰ متر طول خاوری و ۳۹۶۵۰۰۰ متر شمالی عرض شمالی واقع شده است. در شکل ۱ موقعیت منطقه مورد مطالعه در شمال ایران و تصویر سه بعدی که با استفاده از DEM و محدوده طیفی VNIR سنجنده ASTER تهیه و نشان داده شده است.

۲- روش مطالعه

در این پژوهش، پردازش داده‌های ماهواره‌ای و نقشه‌ای با استفاده از نرم افزارهای Microstation، Erdas، ArcView، Envi، Mapsource، Idrisi، ArcGIS، Pci و ۱-زمین مرجع نمودن داده‌های نقشه‌ای: با استفاده از نرم افزارهای Microstation و ArcView عمليات زمین مرجع نمودن داده‌های توپوگرافی و زمین‌شناسی انجام گرفت. ۲-تصحیح هندسی تصاویر ماهواره‌ای و هم مختصات کردن آنها با یکدیگر و با نقشه‌های توپوگرافی ۱:۲۵۰۰۰: در ابتدا تصویر سنجنده PAN ماهواره IRS با استفاده از نقشه‌های توپوگرافی ۱:۲۵۰۰۰ در نرم افزار Pci تصویر شد و سپس تصویر سنجنده ETM+ بر مبنای آن در نرم افزار Envi تصویر شد.

۳-تصحیحات اتمسفری و موازنی داده‌های سنجنده‌های Aster و ETM+ به منظور اعمال تصحیحات اتمسفری و موازنیهای تابش (Radiance) و بازتاب (Reflectance) (Reflectance) (Rowan et al. 2005) در ابتدا تصویر سنجنده Aster استفاده شد. داده‌های سنجنده Aster مورد استفاده شامل تصاویر از نرم افزار Erdas است. داده‌های سنجنده Aster هایی هستند که در سطح هشت بیت موازنیه نیستند، بنابراین DN (Digital Number) با استفاده از ضرایب UCC (Unit Conversions Coefficients) (Abrams & Ramachandran, 2004) به رادیانس تبدیل شد.

۱- مقدمه

اکتشاف مواد معدنی در کشور با استفاده از فن آوری‌های جدید و پیشرفته در جهت برنامه‌ریزی‌های خرد و کلان اقتصادی از اهمیت ویژه‌ای برخوردار است. پوکه معدنی اگرچه از مواد معدنی طبقه یک بوده و اهمیت مواد معدنی طبقه دو مانند فلزات با ارزش نیست، اما در جای خود تأثیر اقتصادی مهمی در صنعت ساختمان پوکه در تهران بزرگ دارد. این ماده معدنی برای تولید مصالح و بتن سبک به کار رفته و نسبت به مواد مشابه طبیعی مانند پرلیت و یا مصنوعی مانند لیکانیاز به حرارت بالا و مصرف سوخت زیاد برای پف کردن و مخلخل شدن ندارد (قربانی، ۱۳۸۲).

اکتشاف پوکه‌های معدنی که نام علمی آن همان پومیس یا پومیست (شیشه‌ای سیلیسی آشفشانی به طور عمده به رنگ روشن) است (Davidson et al., 2004)، به طور کلی به روش پیگردی و پیجوبی براساس اطلاعات محلی (اکتشاف چوبانی) و به ندرت با استفاده از نقشه‌های زمین‌شناسی و در مرحله تکمیلی با حفر چاهک و چاه در نقاط مناسب انجام می‌گیرد (مسعودی، ۱۳۷۱). نقشه زمین‌شناسی دماوند فقط گسترش سنجنگ‌های خروجی گذازه‌ای آشفشان دماوند در منطقه و همچنین محدوده کم و مستقی از آذرآوری‌ها در پیرامون دره هزار نشان می‌دهد (آلن‌باخ، ۱۹۶۳).

بر روی نقشه یاد شده حتی معادن موجود و یا اندیس‌های شناخته شده پوکه معدنی نشانه‌گذاری نشده‌اند. بنابراین در این پژوهش از داده‌های ماهواره‌ای پیجوبی این ماده معدنی استفاده می‌شود. در سطح جهانی و حتی در کشورمان اکتشافات مواد معدنی با استفاده از داده‌های ماهواره‌ای انجام پذیرفته است که از آن جمله می‌توان به مواردی چون تهیه نقشه سنجنده Mordor در استرالیا با استفاده از سنجنده به تهیه آستر (Aster) توسعه (Martines & Khan 2004) و همچنین (Rowan et al. 2005) نقشه‌های زمین‌شناسی و زمین‌ساختمانی با استفاده از داده‌های ماهواره‌ای چندطیفی و فراطیفی در کوهستان‌های Idalho اشاره داشت و یا (Ramsey & Fink 1999) به برآورد میزان مگما با استفاده از سنجش از دور حرارتی پرداختند.

- ۱۱- استخراج خطوط منحنی میزان ارتفاعی: با استفاده از نرم افزار Mapsource خطوط منحنی میزان ارتفاعی از نقشه های توپوگرافی رقومی ۱:۲۵۰۰۰ استخراج شد.
- ۱۲- نهیه نقشه های شب و جهت شب: پس از استخراج خطوط منحنی میزان، نقشه مدل رقومی ارتفاع (Digital Elevation Model) بر اساس این خطوط به دست آمد. سپس بر مبنای نقشه یاد شده، نقشه های شب و جهت شب در نرم افزار ArcGIS تهیه شد.
- ۱۳- ارزیابی و کنترل در برداشت های میدانی: برای ارزیابی برداشت های میدانی از یک دستگاه گیرنده GPS مدل گارمین- ویستا استفاده شد.
- ۱۴- تلفیق، مقایسه و همپوشانی اطلاعات به دست آمده در محیط GIS و معرفی مناطق بالقوه. در نمودار ۱ الگوریتم مرحله انجام پژوهش آورده شده است.

۵- بحث

به دلیل ارتفاع بالای منطقه، نبودن رطوبت و صافی آسمان، عوامل جوی (اتمسفری) تأثیر چندانی در کیفیت تصاویر ندارند. بنابراین اعمال روش های مختلف تصحیح جوی و یا استفاده از روش هیستوگرام با توجه به این که نمونه های آموزشی برای رده بندی از خود تصویر گرفته می شوند، تأثیر چندانی ندارند. اعمال تصحیحات هندسی، تطابق داده های ماهواره ای با یکدیگر و با نقشه های زمین شناسی و توپوگرافی و برداشت های GPS مؤثر بوده و بر دقت کار افزوده است. در شکل ۲ همپوشانی تصویر PAN تصحیح هندسی شده با لایه راه های نقشه توپوگرافی ۱:۲۵۰۰۰ نشان داده شده است. همان طور که در تصویر دیده می شود، اطباق به نسبت کاملی ما بین لایه راه ها و تصویر PAN وجود دارد.

در شکل ۳ تبدیل رنگ IHS برای باندهای ۶، ۷ و ۸ محدوده طیفی SWIR سنجنده Aster دیده می شود. در این تبدیل پوکه ها و سنگ های هم جنس با آنها به رنگ آبی و به خوبی از سنگ های آهکی و پوشش گیاهی تمیز داده می شوند. روش PCA برای محدوده طیفی SWIR سنجنده Aster انجام شد. معادن پوکه و پومیس ها در مؤلفه اول روش هستند. در مؤلفه های دوم، سوم و چهارم تیره هستند. مؤلفه های پنجم و ششم، تقریباً کدر و نوفه ای هستند. در شکل ۴ ترکیب باندی ۴-۲-۱ تبدیل رنگ IHS برای داده های SWIR سنجنده Aster نشان داده شده است. در این تصویر پوکه ها و سنگ های تراکی آندزیتی به رنگ نشان داده شده است.

به علت ماهیت اکتشافی این پژوهش، طبقه بندی های انجام شده تک مخصوصی بوده و بیشتر به دنبال مناطقی که احتمال وجود پومیس در آنها بسیار است، بوده ایم. ابعاد نمونه های برداشت شده از تصاویر تقریباً ۳۰×۳۰ متر مربع یعنی کمتر از ۱/۰ هکتار برای نمونه های تک پیکسلی بوده است. برای محدوده های چند پیکسلی در محوطه سینه کارهای معدنی بیشتر از ۱۲ پیکسل استفاده شد.

در شکل ۵ نقشه پراکندگی پومیس ها و تراکی آندزیت ها بر اساس نمونه های چهار معدن رینه، کنگر چا، ملار و بهارلو بر روی داده های شش باند SWIR سنجنده Aster دیده می شود. در این رده بندی پومیس و تراکی آندزیت ها به علت ماهیت شیمیایی یکسان، همزمان رده بندی می شوند.

در زمین های کم شب و به نسبت تخت، چنانچه برش هایی طبیعی یا مصنوعی ایجاد شود (دره ها و چاله های طبیعی یا جاده های احداث شده) می توان رخنمون هایی از پومیس ها را دید. برای مثال در شمال قله و با خطر روسه های حاجی دلا و ناندل و نیز در منطقه لاله کوه این وضعیت قابل دیدن است. اما این یک نتیجه قابل تعمیم نیست چرا که مناطق کم شب شمال با خطر قله مانند داغ و جنوب با خطر آن مانند چال و پایین وزان پوشیده از صخره ها و سنگ های گدازه ای هستند. نقشه زمین های تخت و مسطح (Flat) و با شب بیشینه ۱۵ درجه از DEM منطقه استخراج شد. در شکل ۶ همپوشانی لایه نقاط معدنی و پومیس با لایه زمین های دارای شب کمتر از ۱۵ درجه

۴- تصحیح توپوگرافی داده های ماهواره ای: تصحیح توپوگرافی بر روی تصاویر چند باندی + ETM و محدوده طیفی SWIR سنجنده Aster با استفاده از DEM تهیه شده از نقشه های توپوگرافی ۱:۲۵۰۰۰ رقومی و زوایای آزمیوت و ارتفاع خورشیدی، همچنین به کار گیری الگوریتم Minnaert (Law & Nichol, 2003) در نرم افزار Imagine spectral Analysis users Guide, Erdas Imagine V8.6., (2002). انجام شد (Dianwei & Mohamed, 2001).

۵- تعیین بهترین ترکیب رنگی دروغین: فاکتور شاخص بهینه (OIF) برای سنجنده های ETM+ و Aster اجرا شد. این شاخص بر اساس کمترین همبستگی ما بین باندها استوار است (Envi & Mohamed, 2001).

۶- ترکیب دقت های مکانی (Data fusion) تصاویر سنجنده های Aster و ETM+ با استفاده از داده های تصویری سنجنده PAN ماهواره IRS: به منظور افزایش دقت مکانی تصاویر سنجنده های ETM+ و Aster عملیات ترکیب دقت مکانی در نرم افزار Envi انجام شد. این روش سبب افزایش دقت مکانی، برای دید بهینه تری می شود.

۷- تبدیل رنگ IHS برای داده های Aster و ETM+: مدل رنگی IHS برای توضیح رنگ از مقاومت رنگ طیفی (Hue) اشباع (Saturation)S و شدت (Intensity)I (Brightness)V و بـ (Value)B می گویند، استفاده می کند. این تبدیل قادر است جزئیاتی از پدیده ها را که در مفهوم رنگی RGB نامشخص باشد را آشکار سازی نماید. این دو مدل با رابطه های زیر قابل تبدیل به یکدیگر هستند:

$$S = V_1 + V_2, H = \tan\left(\frac{V_1}{V_2}\right), V_2 = \frac{1}{\sqrt{2}}(R-G), V_1 = \frac{1}{\sqrt{6}}(R+G-B), I = \frac{1}{\sqrt{3}}(R+G+B)$$

روش یاد شده در نرم افزارهای Idrisi و Envi انجام شده است.

۸- تحلیل مؤلفه های اصلی (PCA) برای داده های Aster: به منظور حذف اطلاعات مشترک و آشکار سازی اطلاعات غیر مشترک در باندهای طیفی داده های سنجنده Aster، از روش PCA استفاده شد (Aster Data processing wizard, 2002). روش برای داده های ETM+ و Aster انجام شد.

۹- طبقه بندی نظارت شده تصاویر: برای طبقه بندی نحوه پراکنش پومیس از روش SAM استفاده شد. روش های بیشترین احتمال و فاصله ماهالانویس در صورتی مفید هستند که تعداد پیکسل های نمونه دست کم چندین برابر تعداد باندهای به کار گرفته باشند (Mineral Exploration wizard, 2002). در الگوریتم های مبتنی بر زاویه طیفی برخلاف الگوریتم های مبتنی بر درجات روش نایاب، شناسه ها برای رده بندی براساس زاویه بردارهای میانگین طیفی مورد استفاده قرار می گیرند (Richards, 1999).

$$a = \cos^{-1} \frac{\sum_{i=1}^{nb} + tri}{(\sum_{i=1}^{nb} + l^{1/2}) * (\sum_{i=1}^{nb} r l^{1/2})}$$

nb شماره باند، ti طیف موردنظر در باند i، ri طیف مرتع در باند i و a زاویه بین دو طیف است.

الگوریتم SAM یک روش طبقه بندی سریع است که براساس محاسبه شباهت طیفی میان طیف های تصویر و طیف مرتع عمل می کند. طیف مرتع را می توان در آزمایشگاه یا با اندازه گیری های میدانی و یا این که به طور مستقیم از تصویر موردنظر بدست آورد. در این پژوهش نمونه های آموزشی سینه کارهای معدنی به عنوان طیف های مرتع در نظر گرفته شد. روش SAM یک روش رده بندی کارآمد و قوی است. علت آن از بین بردن نفوذ اثرات سایه ای به وسیله برجسته نمودن ویژگی های بازتابی هدف است (Rourad et al., 2004).

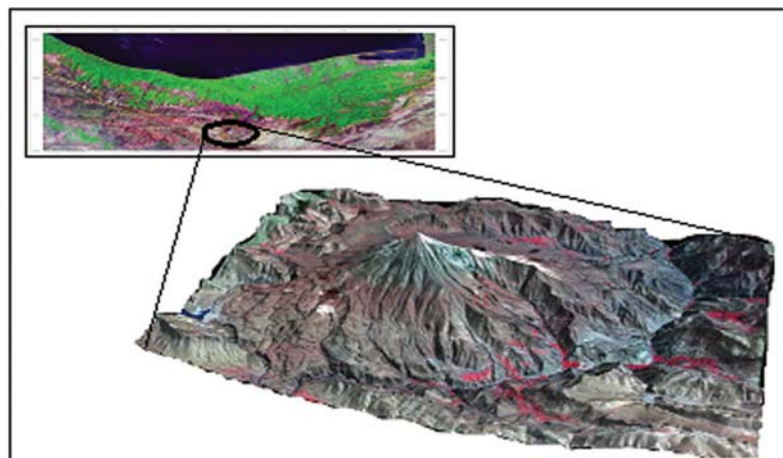
۱۰- استخراج لایه زمین شناسی مؤثر: با استفاده از نقشه های زمین شناسی و نیز عملیات میدانی، لایه زمین شناسی مؤثر شامل گدازه ها و سنگ های آذرآوری دماوند به دست آمد.

ETM ترکیب باندهای ۱، ۵، ۷ است. در خصوص معادن پومیس ترکیب باندهای ۶، ۸ برای پومیس‌ها وضوح بیشتری دارند. با مقایسه مشاهدهای تصاویر یاد شده، می‌توان نتیجه گرفت به علت تغییرات بیشتر در مقادیر انحراف معیار باندهای ETM+ نسبت به SWIR و همیستگی کمترین باندهای سنجنده ETM نسبت به محدوده طیفی سنجنده Aster، ترکیبات رنگی سنجنده ETM وضوح بیشتری در رابطه با پدیده‌ها و همچین معادن پومیس دارند. برای دستیابی به نقشه پتانسیل پومیس با توجه به این که سینه کارهای معدنی مناسب دارای وسعت محدودی هستند، گرفتن نمونه‌های آموختی از تصاویر با تعداد کمی از پیکسل‌ها ممکن است. بنابراین از روش زاویه طیفی به علت کارآبی در مواردی که نمونه آموختی از یک پیکسل تهیه شده باشد، استفاده شد. دقت کلی رده‌بندی به روش SAM برای محدوده طیفی SWIR با حد آستانه زاویه ۰/۰۲ رادیان برابر ۷۷/۸ درصد و با زاویه ۰/۰۳ رادیان برابر ۹۸/۳ درصد به دست آمده است. این دقت در روش بیشترین احتمال ۹۸/۷ درصد و در روش فاصله ماهالانویس ۹۹/۵ درصد است. در خصوص تصاویر موازنۀ شده محدوده طیفی سنجنده Aster به روش IARR دقت کلی در روش SAM با زاویه ۰/۰۲ رادیان برابر ۷۷/۳ درصد و زاویه ۰/۰۳ رادیان برابر ۹۸/۳ درصد برآورد شده است. برای روش بیشترین احتمال، دقت ۹۱/۵ درصد و روش فاصله ماهالانویس ۹۹/۵ درصد به دست آمد

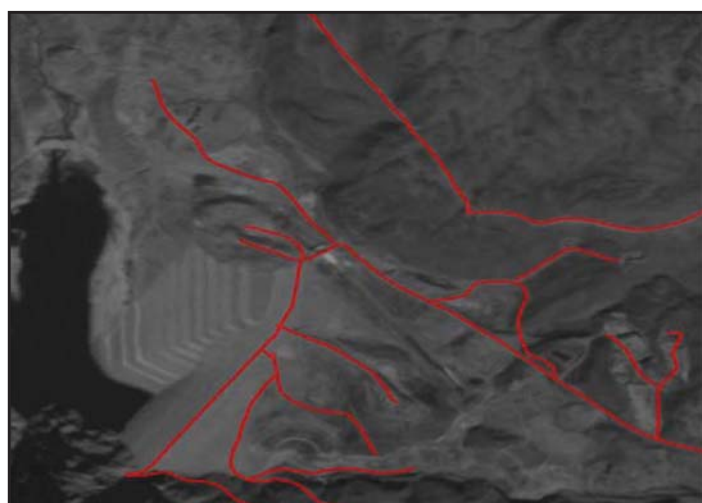
دیده می‌شود. در بیشتر موارد معادن و پتانسیل‌های پومیس با این نقشه تطبیق دارند. با محاسبه سطوح همپوشانی لایه سازند زمین‌شناسی مؤثر با لایه محدوده‌های سینه کارهای معدنی استخراج شده از تصویر PAN مقدار این همپوشانی ۹۳ درصد به دست آمد که در شکل ۷ نشان داده شده است.

۸- نتیجه‌گیری

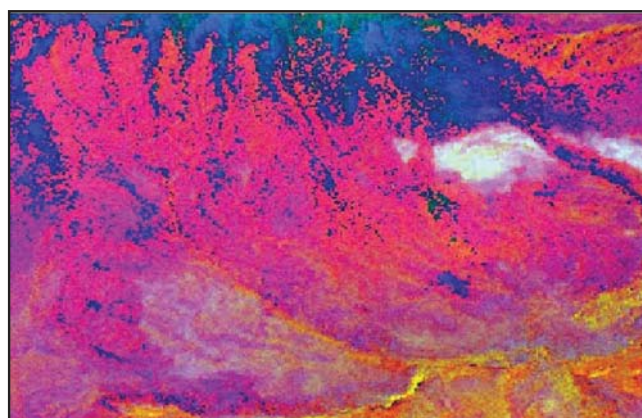
با توجه به داده‌های ماهواره‌ای به کار گرفته شده در این پژوهش، روش‌های PCA و IHS از نظر مشاهدهای، تقریباً به طور کامل نواحی پومیسی، معادن پومیس و تراکی آندزیت‌ها، نبود پوشش گیاهی را آشکار می‌کنند. می‌توان گفت نتایج به دست آمده از تجزیه مؤلفه‌های اصلی و تبدیل رنگ IHS در خصوص تشخیص پومیس و گذرازهای جوان‌تر تراکی آندزیتی تقریباً یکسان بوده است. به منظور آشکارسازی مکانی، تصاویری شناسایی موقعیت معادن، تفسیر مشاهدهای به همراه برداشت‌های میدانی و برداشت نمونه‌های آموختی با گیرنده GPS و انطباق آنها با تصاویر PAN ماهواره IRS و محدوده VNIR سنجنده Aster، همچنین ترکیب دقت مکانی آنها بسیار مفید بوده است. با توجه به مقدار بیشینه شاخص بهینه (OIF) بهترین ترکیب باندی برای محدوده طیفی SWIR سنجنده Aster ترکیب باندهای ۴، ۶، ۸ و در مورد سنجنده



شکل ۱- تصویر سه‌بعدی منطقه مورد مطالعه



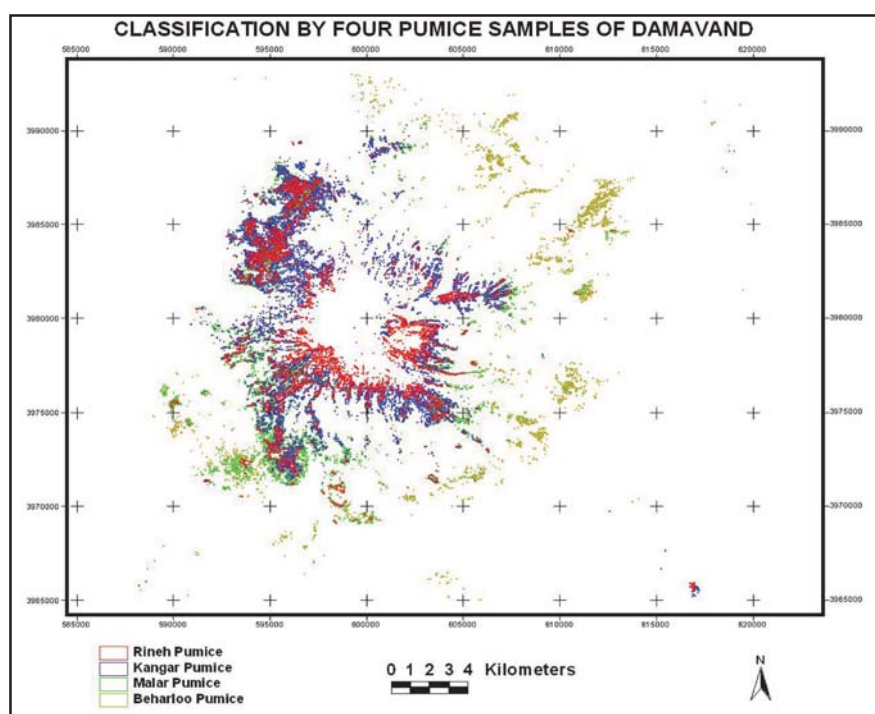
شکل ۲- همپوشانی تصویر IRS-PAN با لایه راه‌های نقشه توپوگرافی ۱:۲۵۰۰۰ در منطقه سد لار



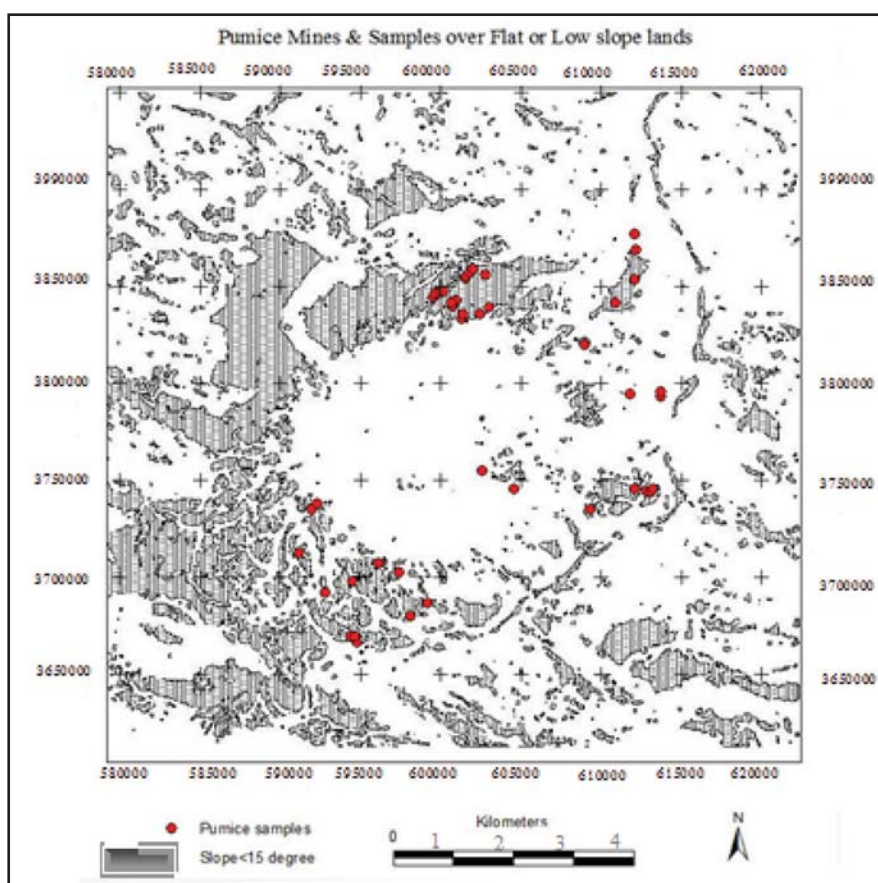
شکل ۳ - تبدیل رنگ IHS ترکیب باندی باندهای ۶، ۸، ۹ محدوده SWIR سنجنده Aster



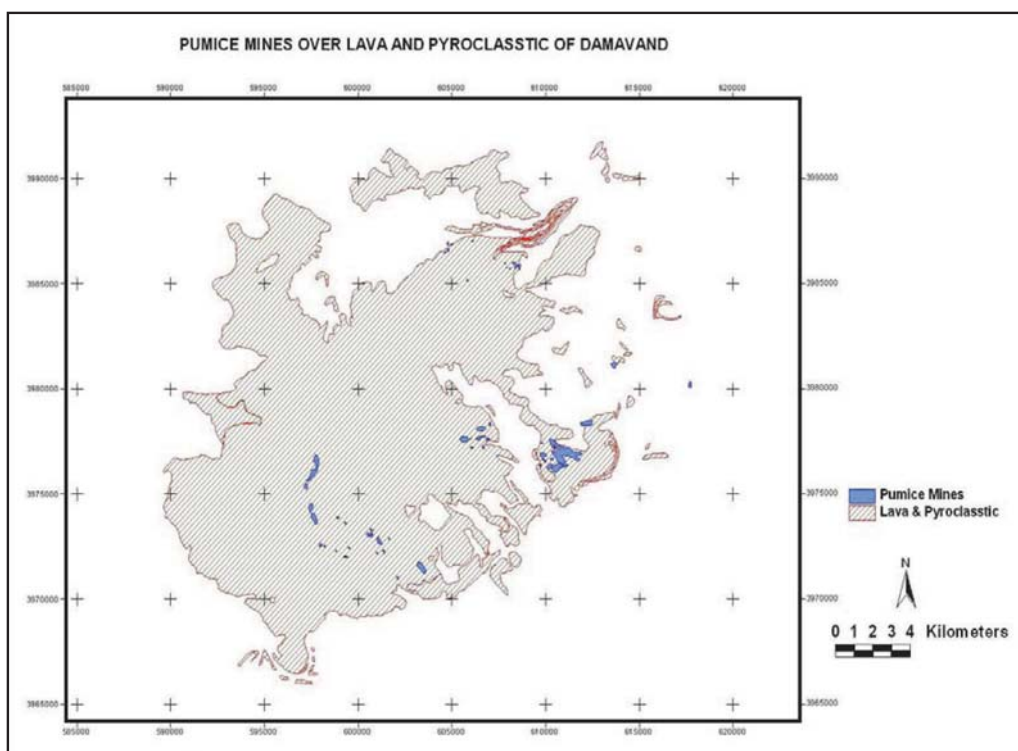
شکل ۴ - ترکیب باندی باندهای ۱، ۲، ۴، ۶ محدوده SWIR سنجنده Aster



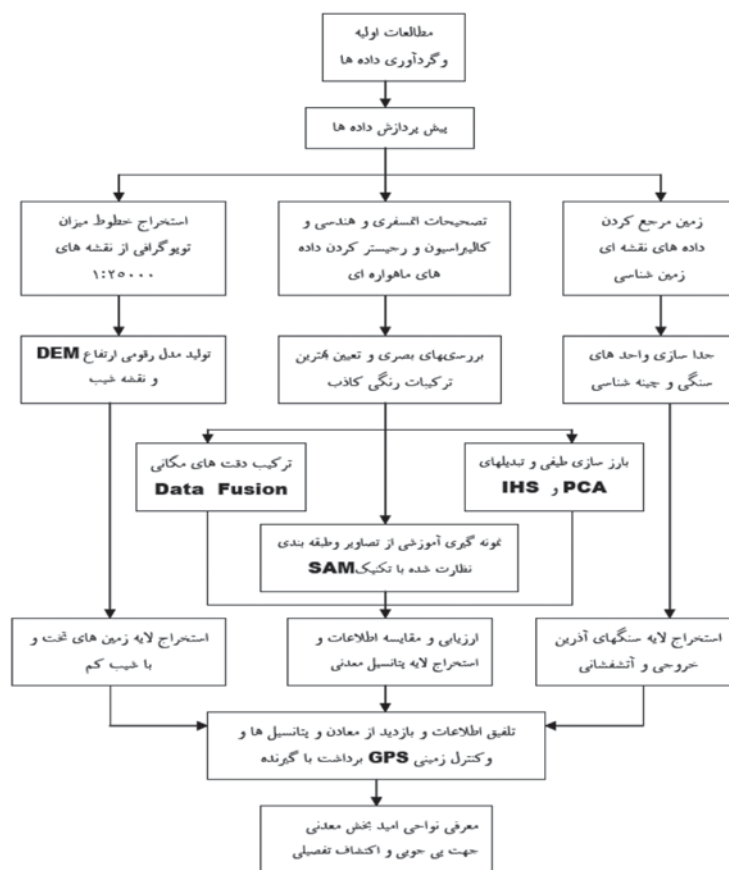
شکل ۵- نقشه پراکندگی پومیس ها و تراکم آنژیت ها بر اساس نمونه های چهار معدن رینه، کنگر چال، ملار و بهارلو



شکل ۶- انطباق معادن پومیس و اندیس‌هایمعدنی با زمین‌های مسطح کم شیب



شکل ۷- انطباق معادن پومیس با سازند زمین‌شناسی مؤثر



نمودار ۱- مراحل مختلف پیجوبی ماهواره‌ای پومیس دامنه‌های کوه دماوند

کتابنگاری

آلن باخ، پ.، ۱۳۶۳- زمین‌شناسی و سنگ‌شناسی دماوند و اطراف آن، ترجمه و تنظیم مهندس علی انتظام و دکتر منوچهر مهرنوش، سازمان زمین‌شناسی و اکتشافات معدنی کشور. قربانی، م.، ۱۳۸۲- آتشفشنان‌شناسی با نگرشی بر آتشفشنان‌های ایران، انتشارات آرین زمین. مسعودی، س.م.، ۱۳۷۱- پیجوبی و پتانسیل‌یابی مواد معدنی در سطح استان مازندران، اداره کل معادن و فلزات مازندران.

References

- Abrams, M. H., Ramachandran, B., 2004- Aster user Hand book version 2.jet propulsion Laboratory,4800 oak Grove Dr. Pasadena,CA91109.
- Ianwei, R., Mohamed, A. G., 2001- Optimum Index Factor(OIF) for Aster Data :Examples From the Neoproterozoic Allaqi suture, Egypt. Department of Geosciences, university of Texas at Dallas.
- Law, K. H., Nichol, J., 2003- Topographic Correction for Differential Illumination effects on Ikonos Satellite Imagery, Department of Land Surveying and Geo-information, The Hong kong Polytechnic university, Hunghom, Kowloon, Hong kong.
- Magine spectral Analysis users Guide, Erdas Imagine V8.6.2002- Leica Geosystems, GIS and Mapping Division, 2801 Buford High way NE,Atlanta, Georgia 30329-2137USA.
- Martines,Y., Khan, S., 2004- Mapping Geology and Structure using Multispectral and Hyperspectral Data and Evaluating Topographic Correction Methods: Case Study, Salmon River Mountains of East-central Idaho, university of Houston and Idaho state university.
- Mineral Exploration wizard, 2002- ER Mapper 603 Release Notes, PP.101-133.
- Ramsey, M. S., Fink, G. H., 1999- Estimating Silicic Lava Vesicularity with Thermal Remote Sensing:A new Technique for Volcanic Mapping and Monitoring, Bull volcanol,61:32-39.Springer-Verlag.
- Richards, J. A., 1999- Remote Sensing Digital Image Analysis: An Introduction, Berlin and Heidelberg: Spring- Verlag.
- Rourad,G., Bannari, A., Harti, E., Desrochers, A., 2004-Validated Spectral Angle Mapper Algorithm for Geological Mapping: Comparative study between quick bird and Landsat -TM.
- Rowan, L. C., Mars, J. C., Simpson, C. J., 2005- Litholoic Mapping of the Mordor ,Nt,Australia ultramafic complex by using the Advanced Spaceborne Thermal Emission and Reflection Radiometer(aster),Remote Sensing of Environment.
- Aster Data processing wizard, 2002- Ermapper 6.3 Release Notes:PP.57-70.
- vidson, J., Hassanzadeh, J., Berzins, R., Stokli, D. F., Bashukoooh, B., Turrin, B., Pandamooz, A., 2004- The Geology of Damavand Volcano,Alborz Mountains,northern Iran. GSA Bulletin, january, v.116,no1-2,P.16-29.

Application of Remote Sensing in Exploration Pumice Around Damavand Apex

S. M. Masoudi¹, F. Fereidoni^{2*} & A. A. Matkan¹

¹Earth Sciences Faculty, Shahid Beheshti University, Tehran, Iran.

²Geography Faculty, University of Tehran, Tehran, Iran.

Received: 2009 January 18 Accepted: 2010 January 24

Abstract

In this study, for the first time, Pumices around Damavand Mountain is studied by IRS-1C, Aster and ETM+ images. For this purpose at first, all images are preprocessed. It means geometric corrections and registering images together and with topography maps (1:25000) are done. Then atmospheric corrections, calibration of radiance and reflectance and topographic correction with Minneart method are done too. Preprocessing, some techniques like PCA, IHS, OIF, FCC and SAM have been done. Pan image of IRS-1C satellite for data fusion in visible and near infrared of Aster at visual interpretation and recognizing of roads and mines is better than ETM images. After data preprocessing, some techniques like PCA, IHS, OIF, FCC and SAM have been done. Pan image of IRS-1C satellite for data fusion in visible and near infrared of Aster at visual interpretation and recognizing of roads and mines is better than ETM images. IHS and PCA methods equally have separated clearly Pumice mines and trachyandesites without vegetations and soils covers. With respect to VNIR of Aster has more intensity than other spectral areas. Also because of high topographic changes and pampas vegetation, visible bands and Very Near Infrared (VNIR) of Aster aren't too useful. These spectral areas are caused mixing classes together, especially limestones and pumice. Totally for most of stones and different ores, spectral area of Short Wave Infrared (SWIR) of Aster has the best ability. For categorizing and extracting pumices potential layers from images, sampling is done on pixel or pixels that contain Pumice mines. Because of less expansion of mines, samples are picked up on just one pixel or in maximum case ten pixels. According to that limitation, Spectral Angle Method (SAM) technique has more ability than the other methods. Use of DEM for separation flat or low dip lands whereas are placed for Pumices in northern, eastern and some southern parts of studied area is effective, but any worthwhile tracks of pumice weren't found in south-west of mountain. Finally mining hopeful areas in east of mining potential map is prepared. By calculating the overlay of effective geology structure layer with pumice mines areas layer, which is extracted from PAN image, the amount of overlay is calculated ninety three percent.

Key words: SAM, Pumice, RS, Aster, DEM, ETM+.

For Persian Version see pages 3 to 8

*Corresponding author: F. Fereidoni; E-mail: sfereidoni@gmail.com

The Using of Field and Microstructural Evidences in Determination of the Origin of Magmatic Enclaves and Metapelitic Xenoliths in Malayer Plutonic Complex (West of IRAN)

R. Deevsalar^{1*} & M.V. Valizadeh²

¹ Tarbiat Modares University, Faculty of Basic Sciences, Dep. of Geology, Tehran, Iran

²University of Tehran, College of Science, Faculty of Geology, Tehran, Iran

Received: 2008 September 30 Accepted: 2009 February 03

Abstract

The results of field studies (i.e. shape, dimensions, spatial distribution, condition of enclaves and xenoliths in the host rocks at available outcrops) experimental observations (i.e. petrographical and microstructural study of enclaves and xenoliths and whole rock geochemistry of magmatic encalves) show that magmatic enclaves are mafic and felsic types, while xenoliths are hornfelsic. Elongation of magmatic enclaves and hornfelsic xenoliths along their apparent longitude axis in the margin of intrusive body are attributed to influence of stress on enclaves in melt or semi-solid phases and xenoliths in plastic form. In addition, this is related to impact of high force of magmatic flow in contact with metamorphic wall rocks. This indicates that the origin of xenoliths is the metamorphic rocks which lie at the periphery of the intrusive body. Existing of aligned mafic enclaves in the host, in addition to, presence of signs of plastic deformations (in microscopic scale) in micro-scale fluid features can be attributed to superimposition of solid-state deformation on magmatic flow. Due to lack of solid-state